

Tracciamento dei Diagrammi di Bode

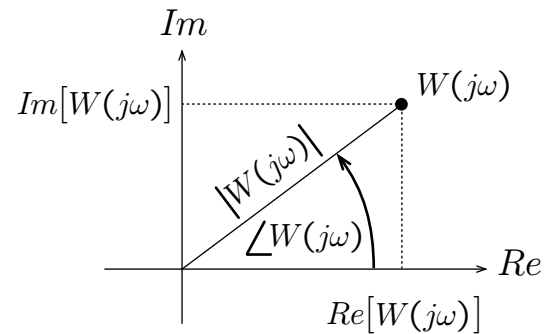
G. Oriolo

Dipartimento di Ingegneria Informatica, Automatica e Gestionale
Sapienza Università di Roma

March 7, 2019

diagrammi di Bode

- rappresentazioni grafiche **separate** del **modulo** $|W(j\omega)|$ e della **fase** $\angle W(j\omega)$ del numero complesso $W(j\omega)$ al variare di $\omega \in (0, +\infty)$



- essendo

$$\angle(1/W(j\omega)) = -\angle W(j\omega) \quad (*)$$

le fasi di $1/W(j\omega)$ si ottengono **ribaltando** quelle di $W(j\omega)$

- sia $W(s) = W_1(s) \cdot W_2(s)$; essendo

$$\angle(W_1(j\omega) \cdot W_2(j\omega)) = \angle W_1(j\omega) + \angle W_2(j\omega) \quad (**)$$

le fasi di $W(j\omega)$ si ottengono **sommando** quelle di $W_1(j\omega)$ e $W_2(j\omega)$

- il modulo $|W(j\omega)|$ non gode di proprietà come le $(*)$, $(**)$ \Rightarrow si passa al logaritmo; in particolare, il modulo si esprime in **decibel** (dB)

$$|W(j\omega)|_{\text{dB}} = 20 \log_{10} |W(j\omega)|$$

- essendo

$$|1/W(j\omega)|_{\text{dB}} = -|W(j\omega)|_{\text{dB}} \quad (\diamond)$$

i moduli in dB di $1/W(j\omega)$ si ottengono **ribaltando** quelli di $W(j\omega)$

- sia $W(s) = W_1(s) \cdot W_2(s)$; essendo

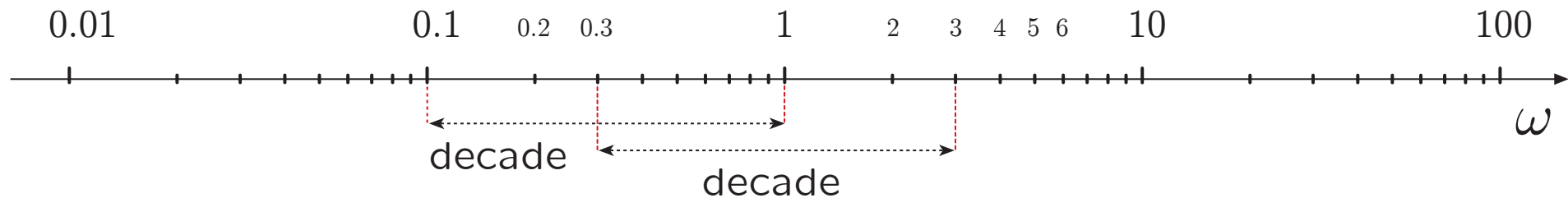
$$|W_1(j\omega) \cdot W_2(j\omega)|_{\text{dB}} = |W_1(j\omega)|_{\text{dB}} + |W_2(j\omega)|_{\text{dB}} \quad (\diamond\diamond)$$

i moduli in dB di $W(j\omega)$ si ottengono **sommando** quelli di $W_1(j\omega)$ e $W_2(j\omega)$

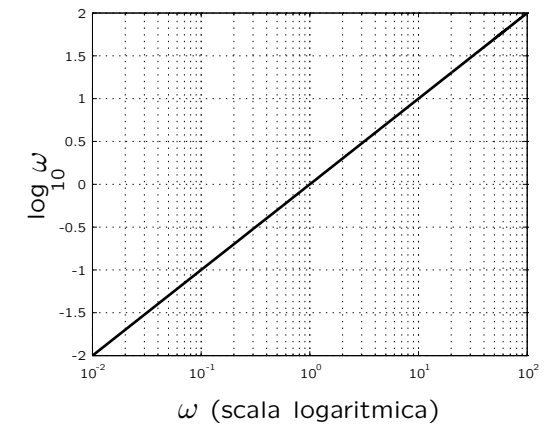
- alcuni valori notevoli

$$|0.1|_{\text{dB}} = -20, \quad |1|_{\text{dB}} = 0, \quad |10|_{\text{dB}} = 20, \quad |100|_{\text{dB}} = 40, \quad |\sqrt{2}|_{\text{dB}} \approx 3$$

- le pulsazioni vengono riportate sull'asse delle ascisse usando una **scala logaritmica in base 10**



- la funzione $\log_{10}(\omega)$ è **lineare** in tale scala



- i diagrammi di alcune funzioni elementari (fattori monomio, binomio e trinomio, vedi più avanti) assumono una forma particolarmente **semplice**
- un altro vantaggio derivante dall'adozione delle scale logaritmiche (in ascissa per le pulsazioni, e in ordinata per i moduli) è ovviamente la possibilità di rappresentare ampi intervalli di variazione delle grandezze

forma di Bode della risposta armonica

$$W(j\omega) = \text{costante} \frac{\prod \text{monomi} \prod \text{binomi} \prod \text{trinomi}}{\prod \text{monomi} \prod \text{binomi} \prod \text{trinomi}}$$

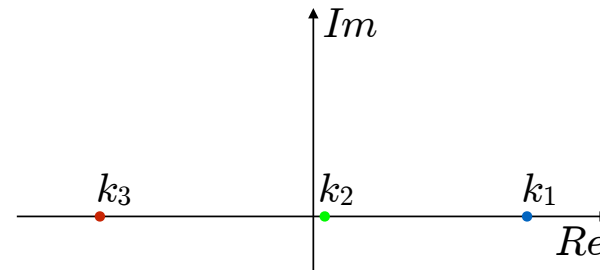
contiene 4 tipi di **fattori elementari**

- **costante** k
- **monomio** $j\omega$
proviene da uno zero (se a numeratore) o da un polo (se a denominatore) in $s = 0$
- **binomio** $1 + j\omega\tau$
proviene da uno zero (se a numeratore) o da un polo (se a denominatore) reale in $-1/\tau$
- **trinomio** $1 + 2\zeta j\omega/\omega_n + (j\omega)^2/\omega_n^2$
proviene da una coppia di zeri (se a numeratore) o di poli (se a denominatore) complessi coniugati in $a \pm jb$, con $\omega_n = \sqrt{a^2 + b^2}$ e $\zeta = -a/\omega_n$

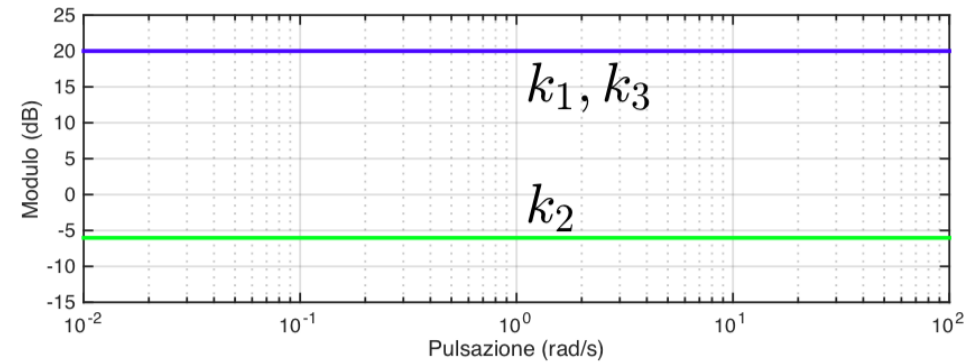
fattore costante k

sul piano complesso

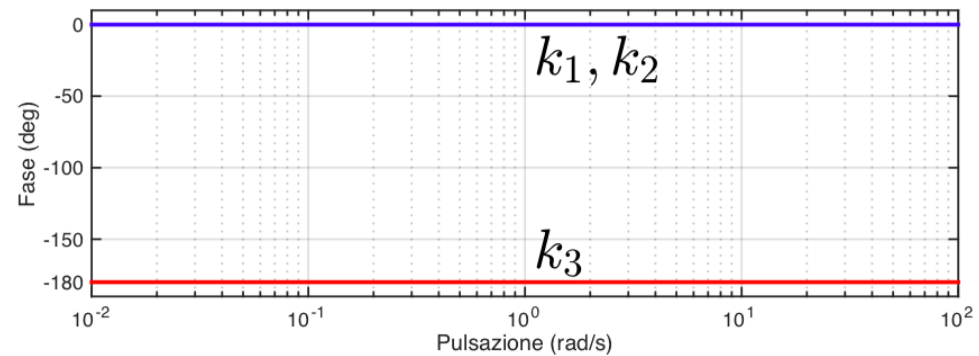
(e.g., $k_1 = 10$, $k_2 = 0.5$, $k_3 = -10$)



modulo

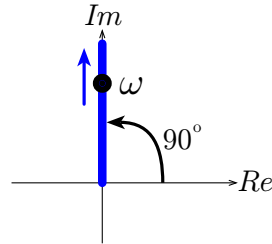


fase



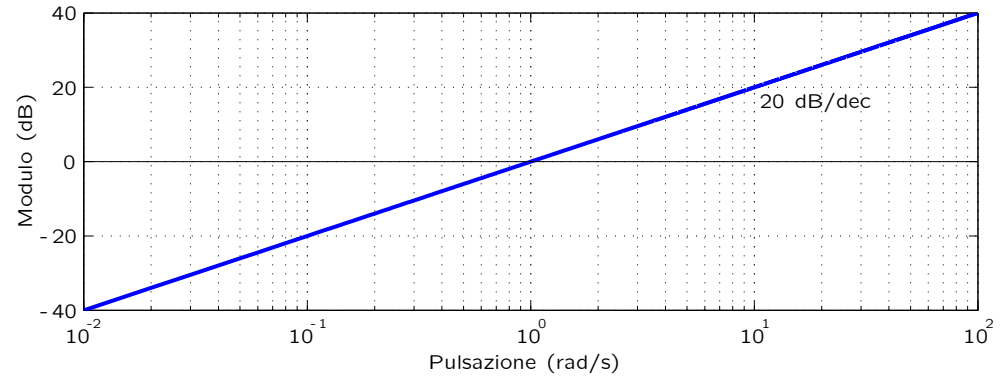
fattore monomio a numeratore $j\omega$

sul piano complesso

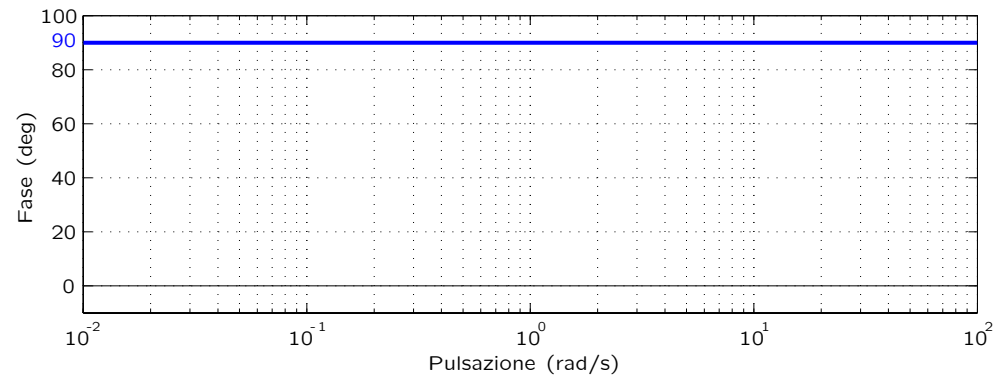


$$\text{e si ha } |j\omega|_{\text{dB}} = 20 \log_{10} \omega$$

modulo



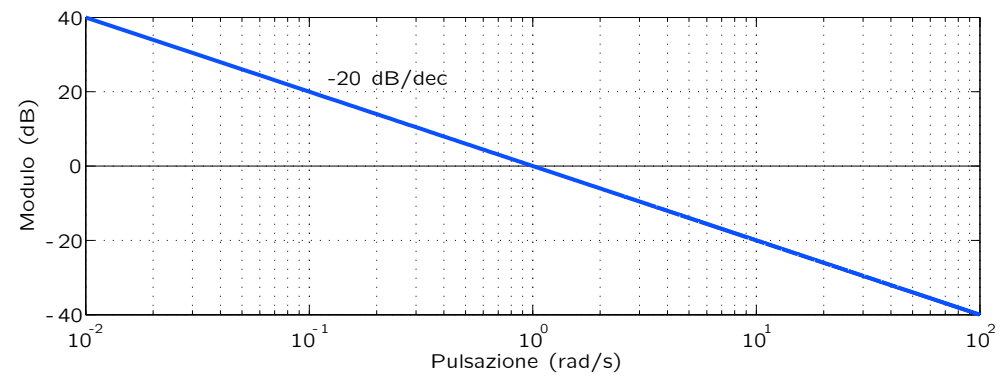
fase



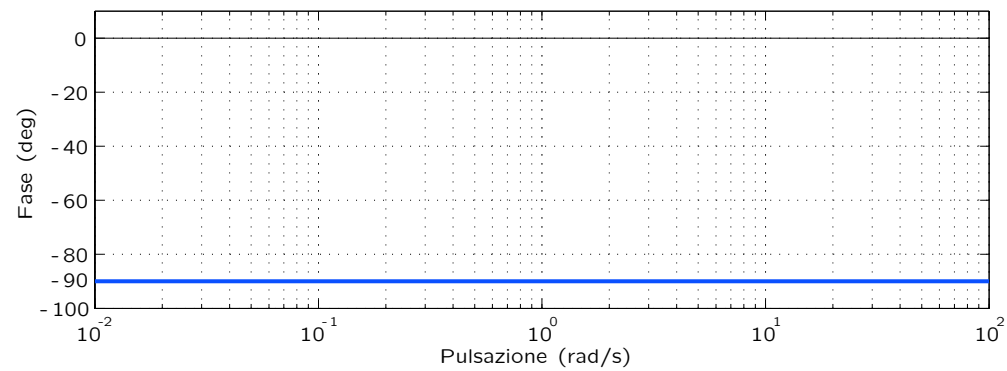
fattore monomio a denominatore $1/j\omega$

dalle (\diamond) , $(*)$ si ha

modulo

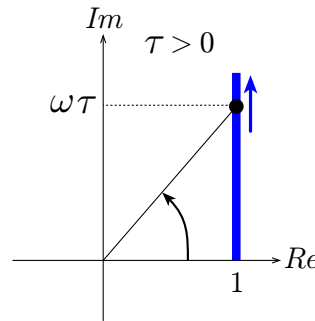


fase

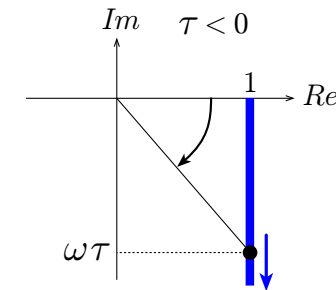


fattore binomio a numeratore $1 + j\omega\tau$

sul piano complesso



oppure



- **modulo:** $|1 + j\omega\tau|_{dB} = 20 \log_{10} \sqrt{1 + \omega^2\tau^2}$; essendo

$$\sqrt{1 + \omega^2\tau^2} \approx \begin{cases} 1 & \text{se } \omega \ll 1/|\tau| \\ \omega|\tau| & \text{se } \omega \gg 1/|\tau| \end{cases}$$

si ha

$$|1 + j\omega\tau|_{dB} \approx \begin{cases} 0 & \text{se } \omega \ll 1/|\tau| \\ 20 \log_{10} \omega + 20 \log_{10} |\tau| & \text{se } \omega \gg 1/|\tau| \end{cases}$$

queste due semirette costituiscono il **diagramma asintotico** del modulo

nota: lo scostamento max tra il diagramma reale e quello asintotico si ha proprio in corrispondenza alla **pulsazione di rottura** $1/|\tau|$ e vale $|1 + j\tau/|\tau||_{dB} = 20 \log_{10} \sqrt{2} \approx 3$

- **fase:** procedendo in modo analogo si ha

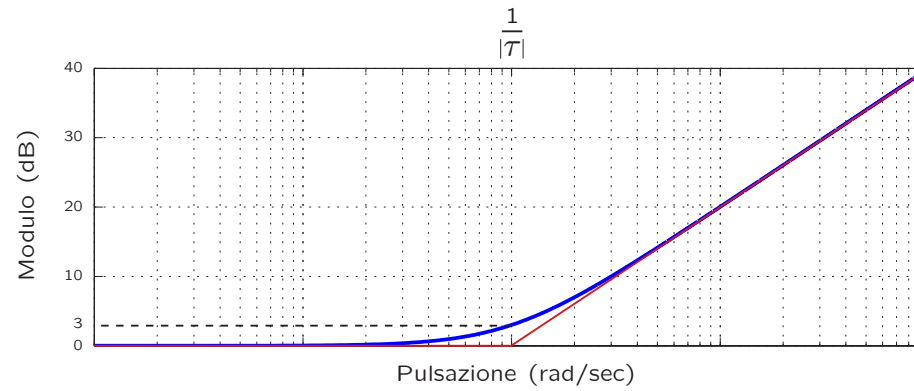
$$\angle 1 + j\omega\tau \approx \begin{cases} 0^\circ & \text{se } \omega \ll 1/|\tau| \\ 90^\circ \text{ } (-90^\circ) & \text{se } \omega \gg 1/|\tau| \text{ e } \tau > 0 \text{ } (\tau < 0) \end{cases}$$

questi due asintoti vengono raccordati da un segmento che parte da $0.1/|\tau|$ e termina in $10/|\tau|$; il **diagramma asintotico** della fase è quindi costituito da una spezzata a tre lati

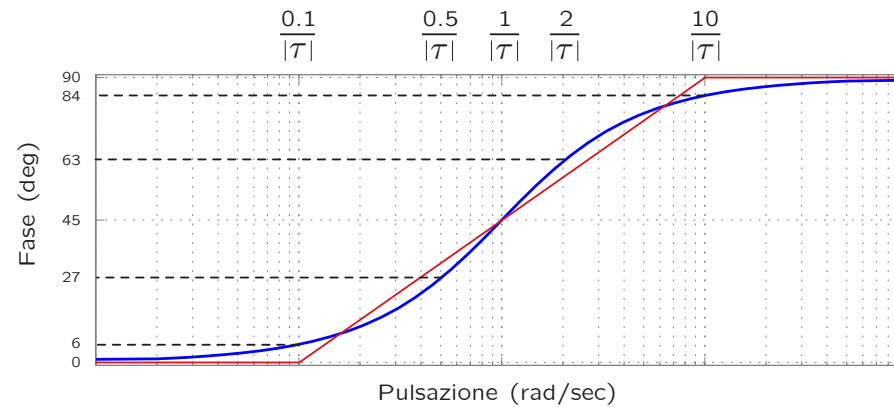
nota: lo scostamento max tra il diagramma reale e quello asintotico si ha in corrispondenza alle pulsazioni $0.1/|\tau|$ e $10/|\tau|$, e vale circa $\pm 6^\circ$

fattore binomio a numeratore $1 + j\omega\tau$

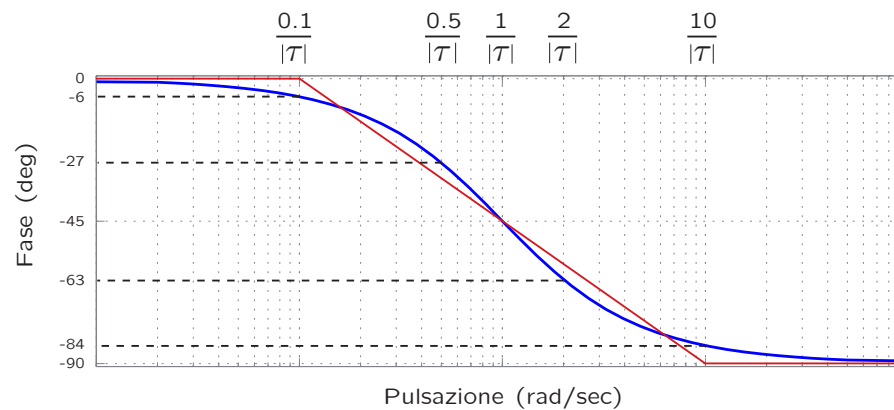
modulo



fase
per $\tau > 0$



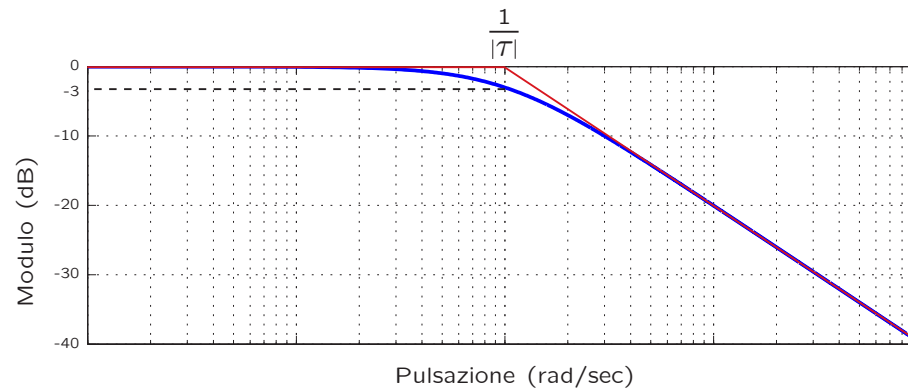
fase
per $\tau < 0$



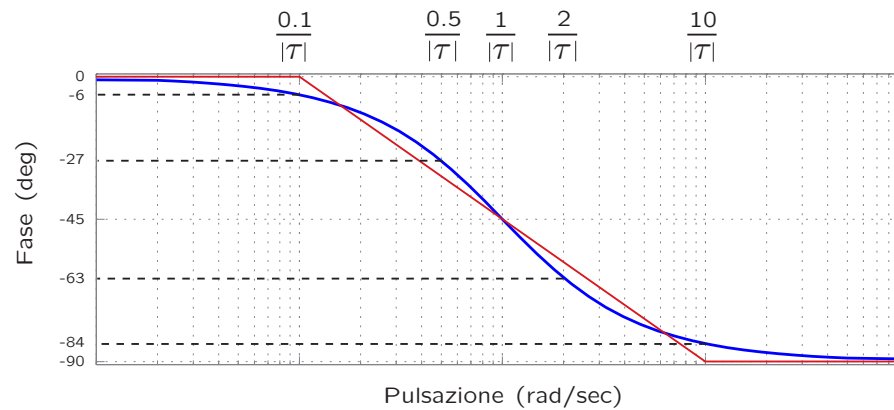
fattore binomio a denominatore $1/(1 + j\omega\tau)$

dalle (\diamond), ($*$) si ha

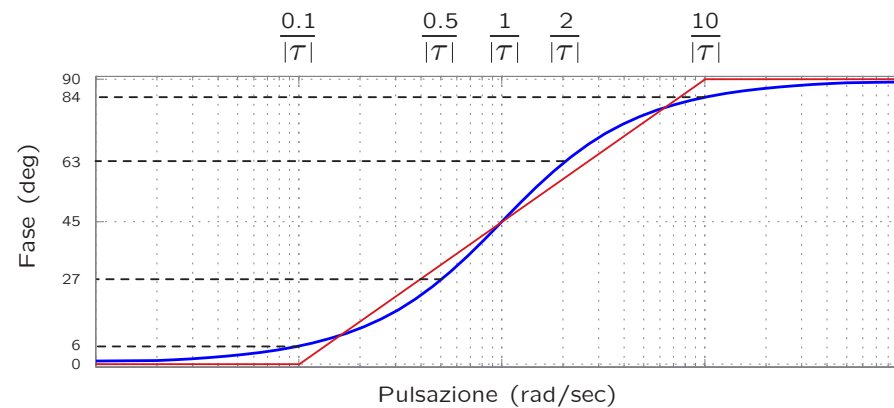
modulo



fase
per $\tau > 0$

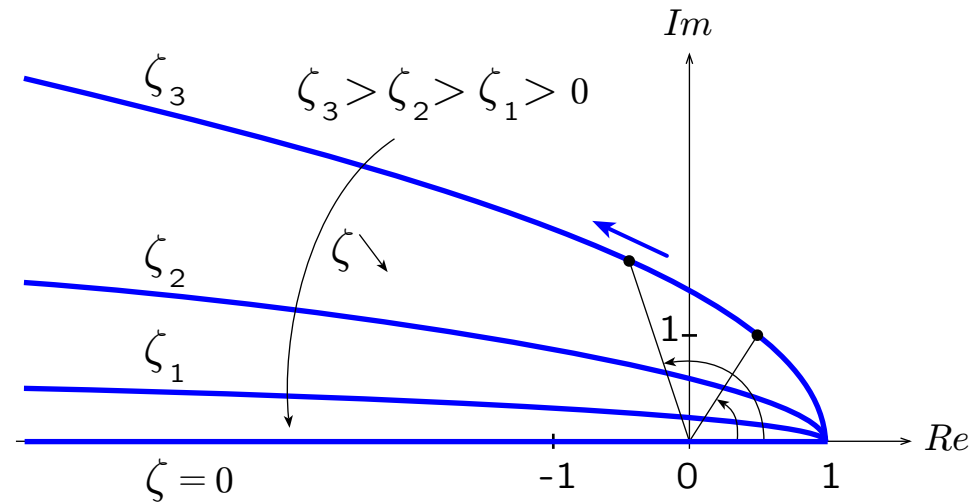


fase
per $\tau < 0$



fattore trinomio a numeratore $1 + 2\zeta j\omega/\omega_n + (j\omega)^2/\omega_n^2$

sul piano complesso



• **modulo:** essendo

$$\left| 1 + 2\frac{\zeta}{\omega_n}(j\omega) + \frac{(j\omega)^2}{\omega_n^2} \right| = \left| 1 - \frac{\omega^2}{\omega_n^2} + j2\zeta\frac{\omega}{\omega_n} \right| = \sqrt{\left(1 - \frac{\omega^2}{\omega_n^2}\right)^2 + 4\zeta^2\frac{\omega^2}{\omega_n^2}}$$

si ha

$$\left| 1 + 2\frac{\zeta}{\omega_n}(j\omega) + \frac{(j\omega)^2}{\omega_n^2} \right| \approx \begin{cases} 1 & \text{se } \omega \ll \omega_n \\ \frac{\omega^2}{\omega_n^2} & \text{se } \omega \gg \omega_n \end{cases}$$

da cui

$$\left| 1 + 2\frac{\zeta}{\omega_n}(j\omega) + \frac{(j\omega)^2}{\omega_n^2} \right|_{\text{dB}} \approx \begin{cases} 0 & \text{se } \omega \ll \omega_n \\ 40 \log_{10} \omega - 40 \log_{10} \omega_n & \text{se } \omega \gg \omega_n \end{cases}$$

queste due semirette costituiscono il **diagramma asintotico** del modulo

nota: lo scostamento tra il diagramma reale e quello asintotico in corrispondenza alla pulsazione naturale ω_n vale $20 \log_{10} 2|\zeta|$

- **dipende da** $|\zeta|$! e.g., per $|\zeta| = 0$ lo scostamento in dB vale $-\infty$, per $|\zeta| = 0.5$ vale 0, per $|\zeta| = 1$ vale 6
- se $|\zeta| < 1/\sqrt{2} \approx 0.707$, il modulo di un fattore trinomio a numeratore ha un ‘picco’ negativo (**antirisonanza**) in prossimità della pulsazione naturale, tanto più accentuato quanto minore è $|\zeta|$

- **fase:** procedendo in modo analogo si ha

$$\angle \left(1 + 2\frac{\zeta}{\omega_n}(j\omega) + \frac{(j\omega)^2}{\omega_n^2} \right) \approx \begin{cases} 0^\circ & \text{se } \omega \ll \omega_n \\ 180^\circ \text{ } (-180^\circ) & \text{se } \omega \gg \omega_n \text{ e } \zeta > 0 \text{ } (\zeta < 0) \end{cases}$$

la transizione tra questi due valori avviene in modo **simmetrico** rispetto alla pulsazione naturale ω_n , e **tanto più bruscamente quanto minore** è $|\zeta|$; in particolare, per $\zeta = 0$ si ha una discontinuità nel diagramma delle fasi in corrispondenza a ω_n

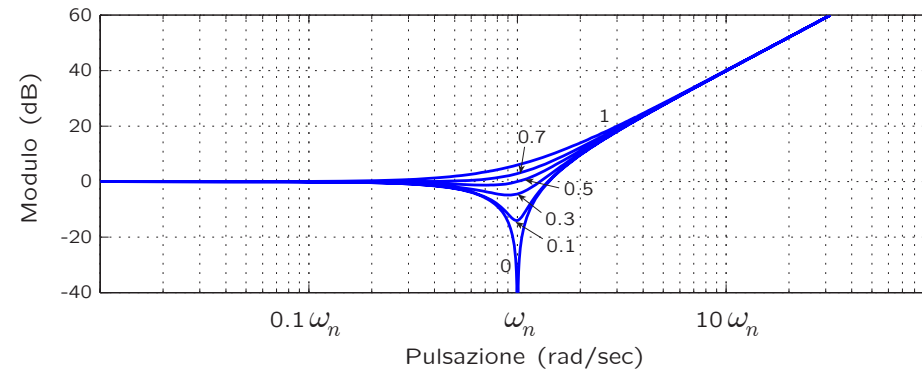
nota: non esiste un diagramma asintotico per la fase del termine trinomio

fattore trinomio a numeratore

modulo

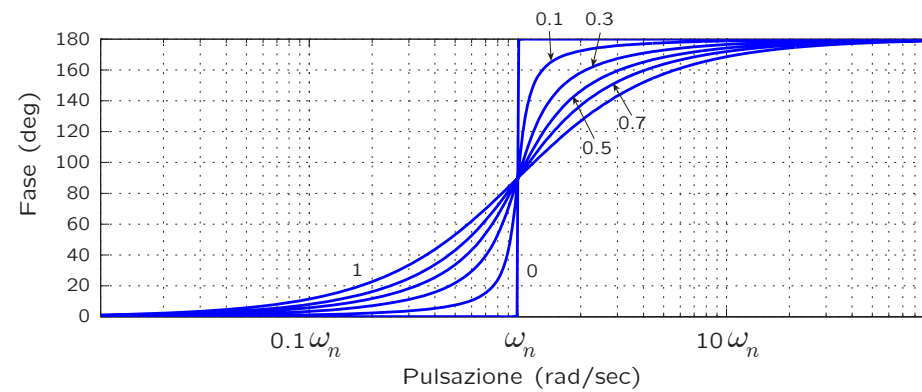
al variare di $|\zeta|$

(**antirisonanza** per $|\zeta| < 0.707$)



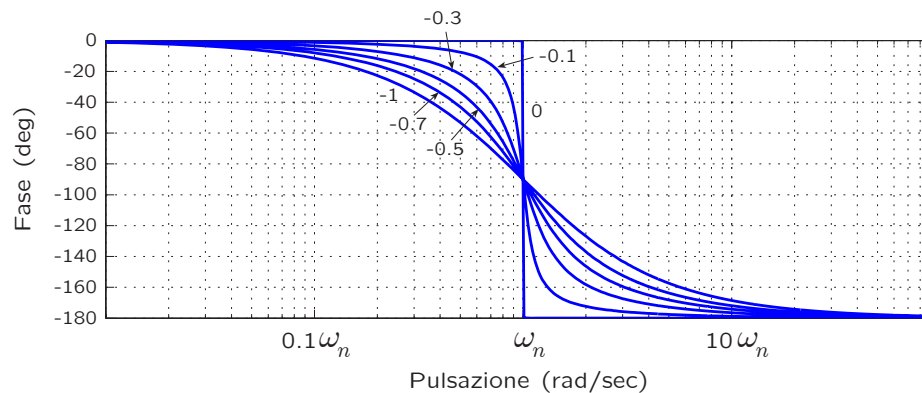
fase

al variare di $\zeta \geq 0$



fase

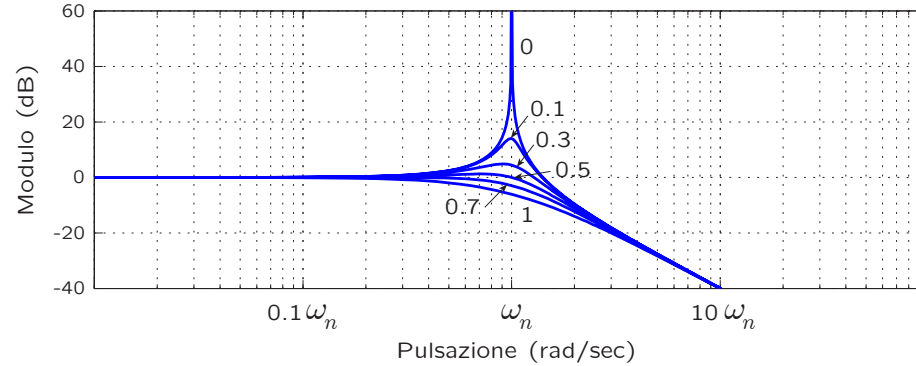
al variare di $\zeta \leq 0$



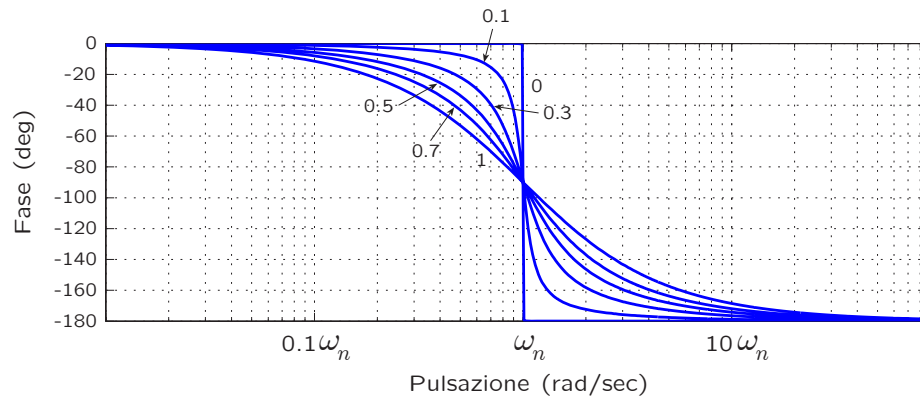
fattore trinomio a denominatore

dalle (\diamond), ($*$) si ha

modulo
al variare di $|\zeta|$
(**risonanza** per $|\zeta| < 0.707$)



fase
al variare di $\zeta \geq 0$



fase
al variare di $\zeta \leq 0$

